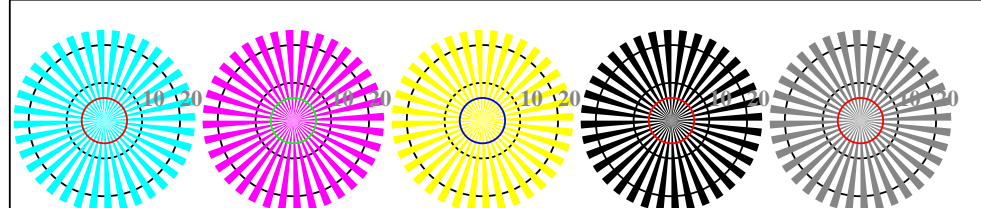


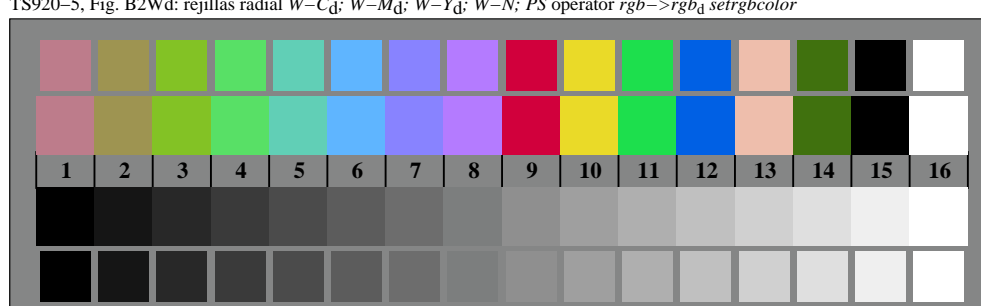
TS921-1, Fig. B4Wd: 16 equidistant pasos $\bar{W}-\bar{C}_d$; $\bar{W}-\bar{M}_d$; $\bar{W}-\bar{Y}_d$; $\bar{W}-\bar{N}$; $rgb/cmy0 \rightarrow rgb_d$ setrgbcolor

+:-.	Q	O	O	O	O	O	lmno	O	O	O	O	pqrs	O	O	O	O	tuvw	O	O	O	O		
xyz;	O	O	O	O	O	O	hijk	O	O	O	O	lmno	O	O	O	O	pqrs	O	O	O	O		
tuvw	O	O	O	O	O	O	defg	O	O	O	O	hijk	O	O	O	O	lmno	O	O	O	O		
pqrs	O	O	O	O	O	O	!abc	O	O	O	O	defg	O	O	O	O	hijk	O	O	O	O		
lmno	O	O	O	O	O	O	+:-.	O	O	O	O	!abc	O	O	O	O	xyz;	O	O	O	O		
hijk	O	O	O	O	O	O	xyz;	O	O	O	O	tuvw	O	O	O	O	tuvw	O	O	O	O		
defg	O	O	O	O	O	O	tuvw	O	O	O	O	defg	O	O	O	O	defg	O	O	O	O		
!abc	O	O	O	O	O	O	defg	O	O	O	O	!abc	O	O	O	O	!abc	O	O	O	O		
10	N	C _d	M _d	Y _d	Z		8	N	C _d	M _d	Y _d	Z	6	N	C _d	M _d	Y _d	Z	N	C _d	M _d	Y _d	Z

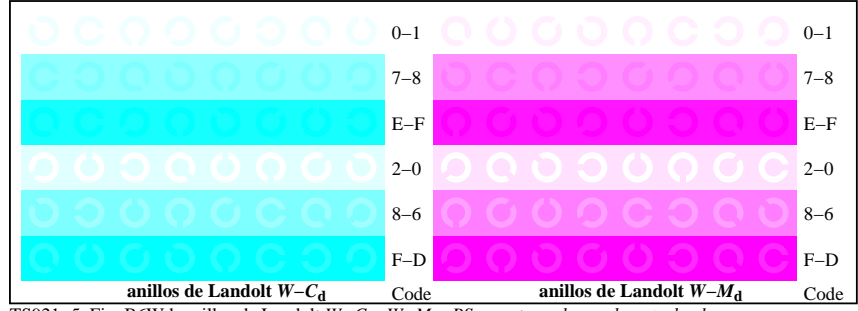
TS921-3, Fig. B5Wd: codigo y Landolt annilos N ; C_d ; M_d ; Y_d ; Z ; PS operator $rgb \rightarrow rgb_d$ setrgbcolor



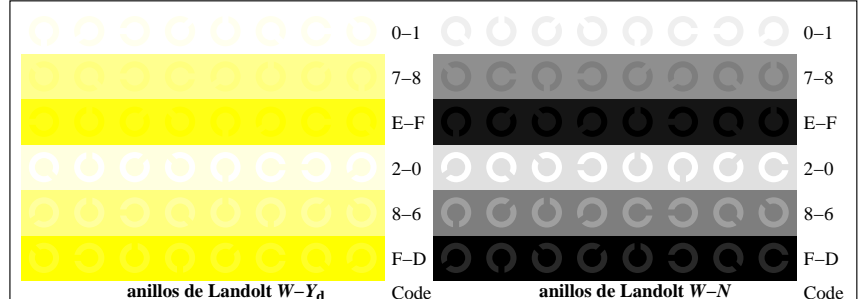
rejillas radial $W-C_d$ rejillas radial $W-M_d$ rejillas radial $W-Y_d$ rejillas radial $W-N$ rejillas radial $W-S$



TS920-7 Fig. B3Wd: CIE 14 colores del test y 2 + 16 pasos de gris (sf); reb/cmy0->reba setrehcolor



TS921-5, Fig. B6Wd: anillos de Landolt $W-C_d$; $W-M_d$; PS operator $rgb \rightarrow rgb_d$ setrgbcolor



TS921-7 Fig. B7Wd: anillos de Landolt $W-Y_d$; $W-N$; PS operator $reh \rightarrow reha$ setrehcolor